

航空发动机手册

(下册)



# 航空发动机手册

(下册)

著者

工程师M.T.波尔特尼可夫；工程师B.Д.伏拉基米罗夫；  
工程师Ю.В.伏尔沃维奇；技术科学硕士М.И.加尔彼林；  
工程师B.B.格拉切夫；技术科学博士Н.Г.都布拉夫斯基；  
技术科学硕士К.Н.耶拉斯托夫；技术科学博士Б.К.伊托米  
斯基；技术科学硕士А.Е.查伊金讲师；工程师А.И.基舍列  
夫；技术科学硕士Н.А.可米沙尔奇克；工程师Н.С.克鲁奇  
奇；技术科学博士М.М.马斯列尼可夫教授；技术科学硕士  
С.拉皮波特讲师；技术科学硕士Н.К.斯莫利扬尼诺夫；  
技术科学硕士В.И.菲利得曼；工程师Я.Р.舍菲尔；技术科  
学硕士Л.Г.雪列米奇也夫讲师；技术科学硕士М.Н.坎欽采夫。

М.А.瓦芬、Г.В.謝尼奇金編

王修瑞、周正石、吳瑞玉譯

孫懷民校

國防工業出版社

## 內容介紹

本書闡明了活塞式航空發動機的工作過程、構造特點以及基本零件與部件的強度計算方法。此外，本書還介紹了多種發動機的特性及其主要參數。對於各種類型的噴氣式航空發動機也作了一般的介紹。

本書適用於航空工廠及空軍工程技術人員、航空學院的學生與其他製造及使用內燃機的有關工業部門中的工作人員參考。

М. А. Левина  
Г. В. Сеничкина  
АВИАЦИОННЫЕ  
ДВИГАТЕЛИ

Государственное научно-техническое  
издательство машиностроительной  
литературы Москва 1951

本書係根據蘇聯國立機械製造書籍出版社  
一九五一年俄文版譯出

## 航空發動機手冊 下冊

[蘇]列芬、謝尼奇金 主編

\*

國防工業出版社出版

北京市書刊出版業營業許可證出字第 074 号  
北京新中印刷厂印刷 新華書店發行

\*

850×1168 紙 1/32 · 8 11/19 印張 · 插圖 3 · 230,000 字

一九五六年十二月第一版

一九五六年十二月北京第一次印刷

印数：1—3,570 册 定价：1.70 元

# 目 录

<b>第五章 活塞式航空发动机的附件</b>	1
增压器和涡轮压缩机	1
供油附件	46
汽油泵	63
点火附件	77
自动操纵	87
航空发动机的起动机（起动器）	98
附件的配置及其传动	110
[参考文献和来源]	195
<b>第六章 航空发动机的冷却和润滑</b>	121
活塞式航空发动机的冷却	121
液冷	121
气冷	130
滑油的冷却	132
航空发动机的润滑	135
液体摩擦轴承的计算	135
滑油泵所需的供油量	144
润滑系统及滑油泵的构造特性	147
活塞式发动机润滑系统的特点	153
喷气式发动机润滑系统的特点	158
滑油的过滤	162
[参考文献和来源]	163
<b>第七章 航空发动机的燃料滑油及冷却液</b>	
活塞式航空发动机的燃料	167
对航空燃料的要求	167
喷气式发动机的燃料	182
活塞式及喷气式航空发动机的滑油	185
冷却液	191

[参考文献和来源] .....	195
<b>第八章 活塞式航空发动机的試車</b> .....	197
試車的用途和種類 .....	197
試車台和試車裝置 .....	200
試車裝置的儀器 .....	209
航空發動機試車的準備和進行 .....	213
試車技術文件及測得數據的整理 .....	219
<b>第九章 空氣噴氣式航空發動機和渦輪螺旋槳式</b>	
<b>航空發動機</b> .....	222
<b>沖壓式無壓縮機空氣噴氣發動機</b> .....	222
<b>脉動式空氣噴氣發動機</b> .....	228
<b>渦輪噴氣式發動機</b> .....	229
一般參數和主要計算公式 .....	230
氣體參數 .....	240
使用特點 .....	250
起動、加速性和操縱 .....	253
渦輪噴氣式發動機的構造 .....	256
<b>渦輪螺旋槳式發動機和雙路式發動機</b> .....	267
1. <b>渦輪螺旋槳式發動機</b> .....	267
2. 双路式渦輪噴氣式發動機 .....	271

## 第五章 活塞式航空发动机的附件

### 增压器和渦輪壓縮机

飞行高度  $H$  增加則外界空气压力  $P_H$ 、温度  $T_H$  及比重  $\gamma_H$  随之降低。其降低值可按通用国际大气表查出（見上册第36頁）。

因此，当爬高时，进入发动机的空气重量  $G_{cek}$  減少，因而发动机的功率就会降低。

为了在高空得到計算功率，現代发动机裝有特种高空附件以便得到所需的空气压力  $P_K$ 、比重  $\gamma_K$  及所需的空气量  $G_{cek}$ 。由于对发动机公升功率的要求不断提高，此种附件同样起着增压附件的作用，它在計算高度  $H_{расч}$  上能保証发动机的进气压力  $P_K$ ，大大超过地面的正常空气压力。

应用得最广泛的离心式增压器（图 1）是航空发动机增压附件和高空附件的基本类型，这是由于它具有下列特点：單級压头能力大，效率較高，空气流量的性能范围大，軸向尺寸小，重量小並且制造不复杂。航空发动机增压器可用曲軸傳动（傳动离心式增压器，图 2、3、4），或者由利用发动机廢气能量工作的燃气渦輪机来傳动。由增压器与燃气渦輪机組成的附件称为渦輪壓縮机（图 5）在航空中，其它型別的增压器，例如：軸向式，容积式等未被采用作为活塞式发动机的高空附件。

在飞行高度減小时，外界空气压力增高，这时，对傳动离心式增压器所要求的增压比也随之減小。因此，如果能根据所需的增压比按高度調整叶輪的轉速，就可以获得最有利的发动机功率高度特性。同时，随着飞行高度的減低，消耗于傳动增压器的功率  $N_c$  便随之減少，並且空气通过增压器的預热  $\Delta t$  亦相应減低。最理想的随飞行高度改变叶輪轉数的方法是利用这样的傳动机構，此种傳动机構能使叶輪的轉数  $n_c$  随着飞行高度的降低而

均衡（無級數地）下降。但是此种傳動機構尚未發明，所以在傳動離心式增壓器中只得采用分級調整葉輪轉速的傳動機構（二速、三速或多速；圖2,3）。

發動機的高空附件可以只包括一個傳動離心式增壓器（圖4）或包括兩個依次工作（串連工作）並組成一整體附件的傳動離心式增壓器（雙級壓縮，圖6），或製成兩個依次工作的單個傳動離心式增壓器（見第一章圖9），或裝成複合系統，其第一級壓縮由渦輪壓縮機進行，而第二級壓縮則由傳動離心式增壓器來完成（圖7）。在發動機上不單獨地用一個渦輪壓縮機（無傳動離心式增壓器），這是為了保證起飛或着陸時所必須的發動機的加速性。

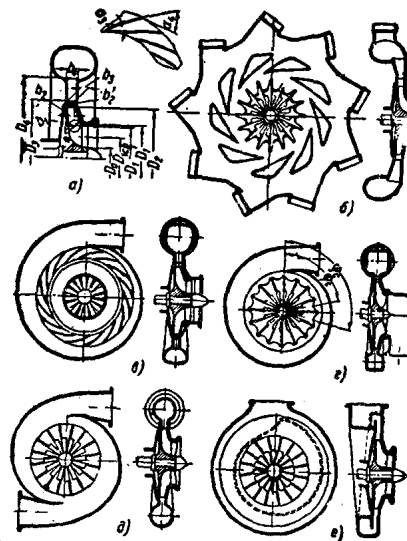


图1 离心式增压器简图

a—主要尺寸的符号；6—叶片式扩散器和环形集气出口；b—无叶片式和叶片式扩散器，出口为螺旋形套匣；c—无叶片式扩散器，出口为螺旋形套匣；d—无叶片式扩散器，出口为双路螺旋形套匣；e—无叶片式扩散器，出口为螺旋形套匣，其外圈为圆形内圈为螺旋形。

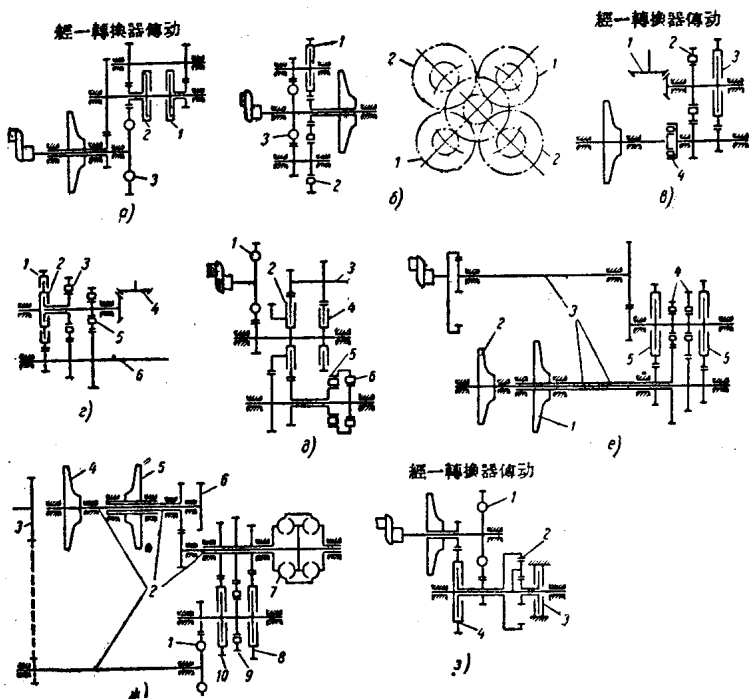


图 2 离心式增压器传动机构简图

a—14缸气冷式发动机增压器的双速传动机构：1—第一速摩擦离合器；  
 2—第二速摩擦离合器；3—弹性齿轮；6—14缸气冷式发动机增压器的双速传动机构：  
 1—第二速的两个并列的摩擦离合器；2—第一速的两个并列游动离合器；3—弹性齿轮；  
 b—12缸倒置式液冷发动机增压器的双速传动机构：  
 1—曲轴齿轮；2—第一速游动离合器；3—第二速摩擦离合器；4—减震式摩擦离合器；  
 c—12缸倒置式液冷发动机增压器的三速传动机构：  
 1—第三速摩擦离合器；2—第二速摩擦离合器；3—第二速游动离合器；4—曲轴齿轮；  
 5—第一速游动离合器；6—叶轮轴；d—12缸液冷式发动机增压器的三速传动机构：  
 1—弹性齿轮；2—第三速摩擦离合器；3—叶轮轴；4—第二速摩擦离合器；5—一  
 减震式摩擦齿轮；6—游动离合器（第一速）；e—28缸气冷式发动机第一级和第二级叶轮的双速传动机构：  
 1—第一级；2—第二级；3—弹性轴；4—第一速游动离合器；5—第二速摩擦离合器；  
 f—28缸气冷式发动机后段增压器的三速传动机构：  
 1—弹性齿轮；2—弹性轴；3—曲轴齿轮；4—前段叶轮；5—后段叶轮；6—前段传动齿轮（前后段叶轮的传动相类似）；7—涡轮离合器；8—第三速摩擦离合器；9—第一速游动离合器；10—第二速摩擦离合器；  
 g—14缸气冷式发动机增压器的双速传动机构：  
 1—弹性齿轮；2—第一速游星减速器（五个游星齿轮）；3—第一速摩擦离合器（制动器）；4—第二速摩擦离合器。

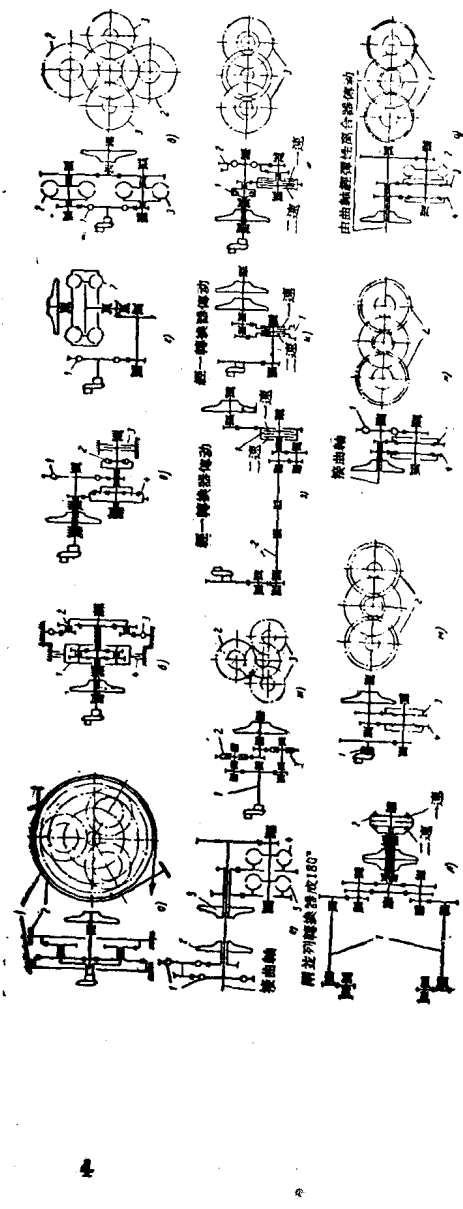


图 3 密心式增压器驱动机架简图

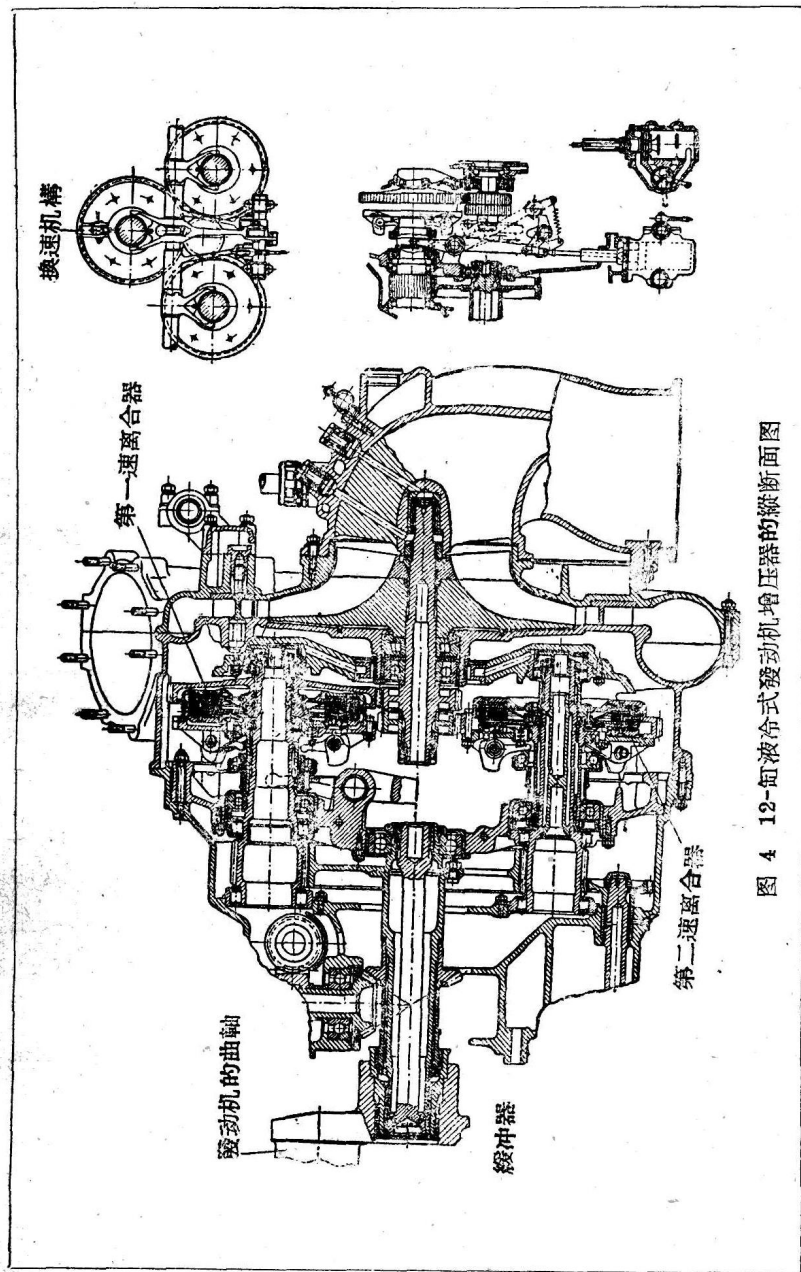


图 4 12-缸液冷式发动机增压器的纵断面图

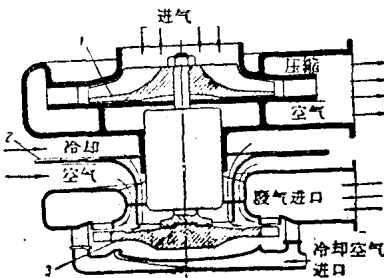


图 5 涡輪壓縮機簡圖

1—离心式叶輪；  
2—擋熱板；3—燃气渦輪机。

## 傳動離心式增壓器

离心式增压器由下列主要部分構成：进口連管，工作叶輪，扩散器及出口集气管（見图 1）。增压器的主要工作部分是工作叶輪；傳動增压器所消耗的功率  $N_c$  被叶輪吸收並使空气获得位能（提高靜压力）和动能（提高絕對速度）。飞机进气管与叶輪进气部分之間由进口連管联通。扩散器的基本用途是將叶輪上所得到的空气动能轉变为位能。由扩散器出来的空气进入螺旋形出口套匣，將空气导入發动机进气管。

图 8 所示为空氣經過增压器各部分时的参数变化及  $PV$  座标上的压縮过程。因为与外界的热交換相当小，且不超过增压器所吸收总功的4~6%，所以增压器計算的根据是假定与外界不發生热交換；因为有損失存在，所以此过程不是按絕热进行（图 8：0—4' 線），而是按多变曲綫：0—1；1—2；2—3；3—4；4—5进行的。此种过程（有損失但与外界不發生热交換）有时称为假絕热过程。

求定增压器任何綫段內的空气参数所用的基本方程式如下：

**状态方程式：**

$$\frac{P}{R \cdot T} = \gamma, \quad (1)$$

式中  $P$  —— 絶對压力, 公斤/公尺<sup>2</sup>;  $\gamma$  —— 比重, 公斤/公尺<sup>3</sup>;  $T$  —— 空气絶對温度;  $R$  —— 气体常数, 空气为  $R = 29.27$  公斤公尺/公斤。

**工作过程方程式:**

$$\frac{P}{\gamma n} = \text{常数}, \quad (2)$$

式中  $n$  —— 多变指数。

**动量矩方程式:**

$$M = \frac{G_{\text{cek}}}{g} (C_{\text{и кон}} \cdot r_{\text{кон}} - C_{\text{и нач}} \cdot r_{\text{нач}}), \quad (3)$$

式中  $G_{\text{cek}}$  —— 空气每秒流量, 公斤/秒;  $g$  —— 自由落体加速度;  
 $C_{\text{и кон}}, C_{\text{и нач}}$  —— 相当于叶輪半徑終点  $r_{\text{кон}}$  和起点  $r_{\text{нач}}$  处  
 空气絶對速度的圓周分速;  $M$  —— 增压器叶輪的动量矩。

此公式在离心式增压器工作叶輪上采用时, 若乘以旋转角速度則变为有名的尤拉(Өйлөр)方程式

$$L_k = \frac{u_2 C_{u2} - u_1 C_{u1}}{\gamma},$$

式中  $u_2$  和  $u_1$  —— 叶輪外徑  $D_2$  和內徑  $D_1$  处的圓周速度;  $L_k$  ——  
 当  $G_{\text{cek}} = 1$ , 鼓風損失  $L_{rd}$  不計时傳动工作叶輪所消耗的功,  
 公斤公尺/公斤; ( $L_{rd} = \frac{N_t \cdot 75}{G_{\text{cek}}} \cdot \text{公斤公尺/公斤}$ ;  $N_t$  —— 鼓風損失的  
 功率, 馬力)。

**連續方程式:**

$$G_{\text{cek}} = \gamma \cdot C_F \cdot F, \quad (4)$$

式中  $C_F$  —— 所論截面的气体速度;  $F$  —— 所論截面的面积。

**一公斤气体的能量(守恒)方程式:**

$$AL - Q_g = C_p (T_{\text{кон}} - T_{\text{нач}}) + A \frac{C_{\text{кон}}^2 - C_{\text{нач}}^2}{2g}, \quad (5)$$

式中  $A$  —— 功的热当量,  $A = \frac{1}{427}$  仟卡/公斤公尺;  $L$  —— 傳动工  
 作叶輪所消耗的流体功(鼓風損失計算在內);  $Q_g$  —— 每 1 公斤  
 空气中經過匣壁外散的热量;  $C_p$  —— 定压比热, 空气的  $C_p$  为

$C_p = 0.241$  千卡/絕對溫度;  $T_{\text{кон}}$  和  $T_{\text{нач}}$  —— 空氣的終點溫度和起點溫度 (增壓器內所研究的空氣通路的終點和起點);  $C_{\text{кон}}$  和  $C_{\text{нач}}$  —— 增壓器內所研究的空氣通路的終點和起點的絕對末速和初速, 公尺/秒。

研討增壓器任何不动的机件时, 式中  $L$  取为零。

一公斤气体的压缩功的方程式:

$$\int_{\text{нач}}^{\text{кон}} \frac{dp}{\gamma} = L_{\text{пол}} = \frac{n}{n-1} \left( \frac{P_{\text{кон}}}{\gamma_{\text{кон}}} - \frac{P_{\text{нач}}}{\gamma_{\text{нач}}} \right) =$$

$$= \frac{C_{\text{нач}}^2 - C_{\text{кон}}^2}{2g} + L - \Sigma L_r, \quad (6)$$

式中  $L_{\text{пол}}$  —— 多变压縮的全部功, 公斤公尺/公斤;  $P_{\text{кон}}$  和  $P_{\text{нач}}$  —— 終点和起点的空气靜压力, 公斤/公尺<sup>2</sup>;  $\gamma_{\text{кон}}$  和  $\gamma_{\text{нач}}$  —— 終点和起点的空气比重 (增壓器內所研究的空氣通路的終點和起點), 公斤/公尺<sup>3</sup>;  $\Sigma L_r$  —— 在增壓器內所研究的空氣通路中的損失总和, 公斤公尺/公斤; 在一般情况下就是增壓器的損失总和 (見下面各个机件中的損失公式)。

由能量方程式和压缩功方程式可得:

$$\sum L_r - \frac{Qq}{A} = \frac{k}{k-1} R (T_{\text{кон}} - T_{\text{нач}}) -$$

$$- \frac{n}{n-1} R (T_{\text{кон}} - T_{\text{нач}}),$$

由此式可求得另一公式:

$$\frac{n}{n-1} = \frac{k}{k-1} \left( 1 - \frac{\sum L_r - \frac{Qq}{A}}{\frac{k}{k-1} R (T_{\text{кон}} - T_{\text{нач}})} \right),$$

利用此公式可求出增壓器內以及增壓器流通部分每一机件內的压缩多变指数平均值, 式中  $k$  —— 絶热指数, 空氣的絶热指数为  $k = 1.40$ 。

离心式增壓器的基本性質以抽象特性綫, 即曲綫  $\bar{H} = f(q)$ 。

$\eta_c = f(q)$ 、 $\eta_{ad} = f(q)$  等表示之，式中  $q$ —流量系数（见图9），或以标准特性线表示之，此标准特性线是在各种转数下  $L_{ad} = f(V_{cav})$  的关系曲线及绝热效率  $\eta_{ad}$  为常数的钢状曲线组成的（图10）

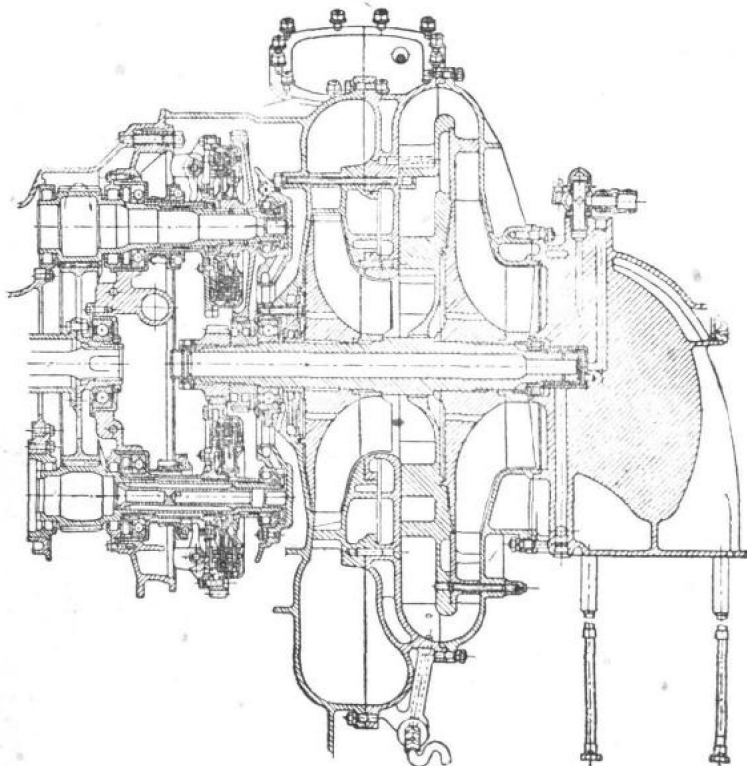


图 6 12缸液冷式发动机双級增压器

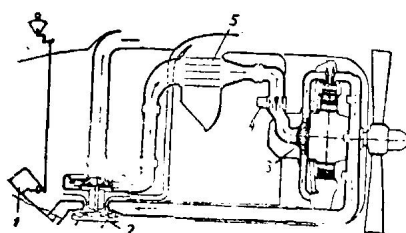


图 7 装有渦輪压缩机的螺旋桨发动机組簡圖

- 1—调节器；2—涡轮压缩机；
- 3—第二級增压器（傳動式）；
- 4—汽化器；5—中間散熱器。

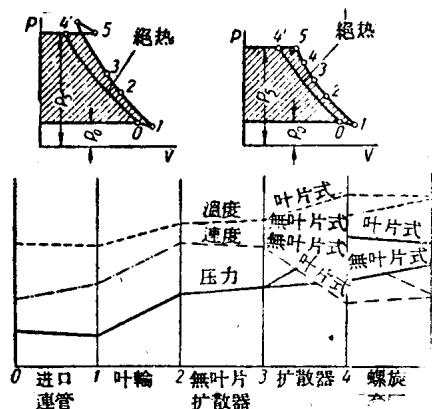


图 8 在叶片式和無叶片式扩散器的增压器內的空气参数之变化与相应的  $P - V$  过程图 (左图一叶片式扩散器, 右图一無叶片式扩散器)

图 9 增压器的抽象特性綫  
曲綫 1、2、3、4、5 为在各种  
轉速下所繪

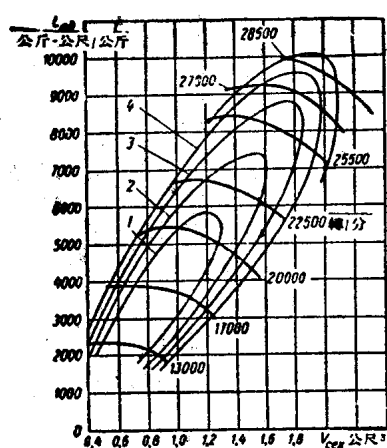
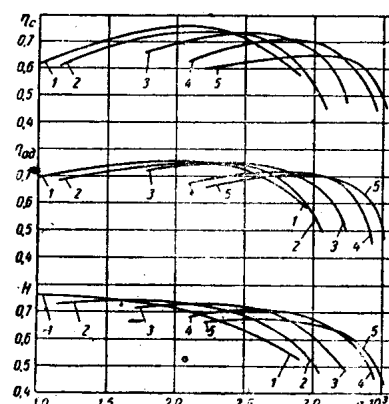


图 10 增压器的标准特性  
(因次特性) 線  
1、2、3、4—恒定效率曲綫

压缩系数  $H$  是表示压头能力的：

$$\begin{aligned} \overline{H} &= \frac{L_{ad}}{\frac{u_2^2}{g}} = \frac{\frac{k}{k-1} RT_B \left[ \left( \frac{P_K}{P_H} \right)^{\frac{k-1}{k}} - 1 \right]}{\frac{u_2^2}{g}} \approx \\ &\approx \left\{ \mu - \frac{\sum L'_r}{\frac{u_2^2}{g}} \right\} \frac{1}{1+a} \quad (7) \end{aligned}$$

(設  $\frac{C_K^2 - C_1^2}{2g} = 0$  和  $u_1 C_u = 0$ ;  $\sum L'_r$  —— 不計算鼓風損失) ,

式中  $L_{ad}$  —— 一公斤气体的絕热压缩总功, 公斤公尺/公斤;  $u_2$  —— 叶輪外徑的圓周速度, 公尺/秒;  $\mu$  —— 考慮叶輪出口处气流偏離 (与叶輪旋轉方向相反) 因而会使叶輪所發出之功率降低的系数,

$\mu = \frac{C u_2}{u_2}$ ;  $C u_2$  —— 叶輪出口处絕對速度的圓周分速, 公尺/秒;

$a$  —— 表示  $L_{ad}$  与  $L_{pol}$  之比值的系数,  $(1+a) = \frac{L_{pol}}{L_{ad}}$ ; 系数  $a$

主要是决定于  $\frac{P_K}{P_H}$  和  $n$  (多变指数)。有效功率  $\eta_c$  是表示增压器所消耗的功率的利用率:

$$\begin{aligned} \eta_c &= \frac{G_{cex} \cdot L_{ad}}{75 N_c} = \frac{G_{cex} \cdot u_2^2}{75 g} \cdot \frac{\overline{H}}{N_c} = \\ &= \frac{\sum L'_r \cdot g}{\frac{u_2^2}{g} \cdot \frac{\eta_M}{1+a}}, \quad (8) \end{aligned}$$

式中  $N_c$  —— 傳動增压器所消耗的功率, 包括机械损失 (軸承、齒輪等的損失) 在內, 馬力;  $\eta_M$  —— 机械效率,

$$\eta_M = \eta_{sys} \left( 1 - \frac{N_{xx}}{N_c} \right);$$

$\eta_{\text{ay6}}$ ——齒輪嚙合效率；一对齒輪的  $\eta_{\text{ay6}} = 0.99$ ； $N_{\text{xx}}$ ——增壓器不用葉輪工作時（空轉）所需要的功率，馬力； $\alpha$ ——葉輪鼓風損失的相對值。

$$\alpha = \frac{L_{rd} \cdot g}{u_2^2}$$

絕熱功率率  $\eta_{ad}$  表示空氣通過增壓器時的溫度升高率

$$\eta_{ad} = \frac{\eta_c}{\eta_Q \eta_M} = \frac{\frac{L_{ad}}{k}}{\frac{k}{k-1} R \Delta t} = \frac{\Delta t_{ad}}{\Delta t},$$

式中  $\eta_Q$ ——考慮到熱量散失的系數； $\Delta t$  和  $\Delta t_{ad}$ ——增壓器內空氣溫度的實際升高和絕熱升高； $\eta_M$ ——機械效率（ $\eta_Q$  变化範圍為 0.98 到 0.90）。

流量系數  $q$  是表示空氣相對流量  $q = \frac{V_{\text{сек}}}{n_c D_2^3}$ ，式中  $V_{\text{сек}}$ ——

空氣在增壓器前每秒的容積流量； $n_c$ ——葉輪轉速。

從  $M = \frac{u_2}{a^*} = \frac{u_2}{\sqrt{k g R T_H}} > 0.75$  開始起（式中  $a^*$ ——音速），

還應該考慮到空氣壓縮性對於增壓器性能的影響，因為  $\frac{u_2}{a^*}$  值超過 0.75 時空氣壓縮性影響變得很大，使增壓器性能下降。因此在此種情況下，增壓器的性能曲線應繪成  $\frac{L_{ad}}{T_H} = f \left( V_{\text{сек}} \sqrt{\frac{288}{T_H}} \right)$  的形式。在繪制此種曲線時先取幾個  $u_2 \sqrt{\frac{288}{T_H}}$  之值，再分別針對這幾個定值繪出  $\frac{L_{ad}}{T_H} = f \left( V_{\text{сек}} \sqrt{\frac{288}{T_H}} \right)$  的曲線。然后再繪上絕熱效率或有效效率的等值曲線網。

在葉輪圓周速度為平均值 ( $u_2 = 350 \sim 400$  公尺/秒) 時，增壓器效率依據通路的空氣動力性能完善與否而在下列範圍內變化：  
 $\bar{H} = 0.52 \sim 0.7$ ； $\eta_e = 0.5 \sim 0.75$ ； $\eta_{ad} = 0.6 \sim 0.82$ 。

**進口連管** 增壓器進口連管的主要型別為：軸向式，彎頭式和